



09/30/02
Mike Hoag et al.
Sheet 1 of 19

6473082

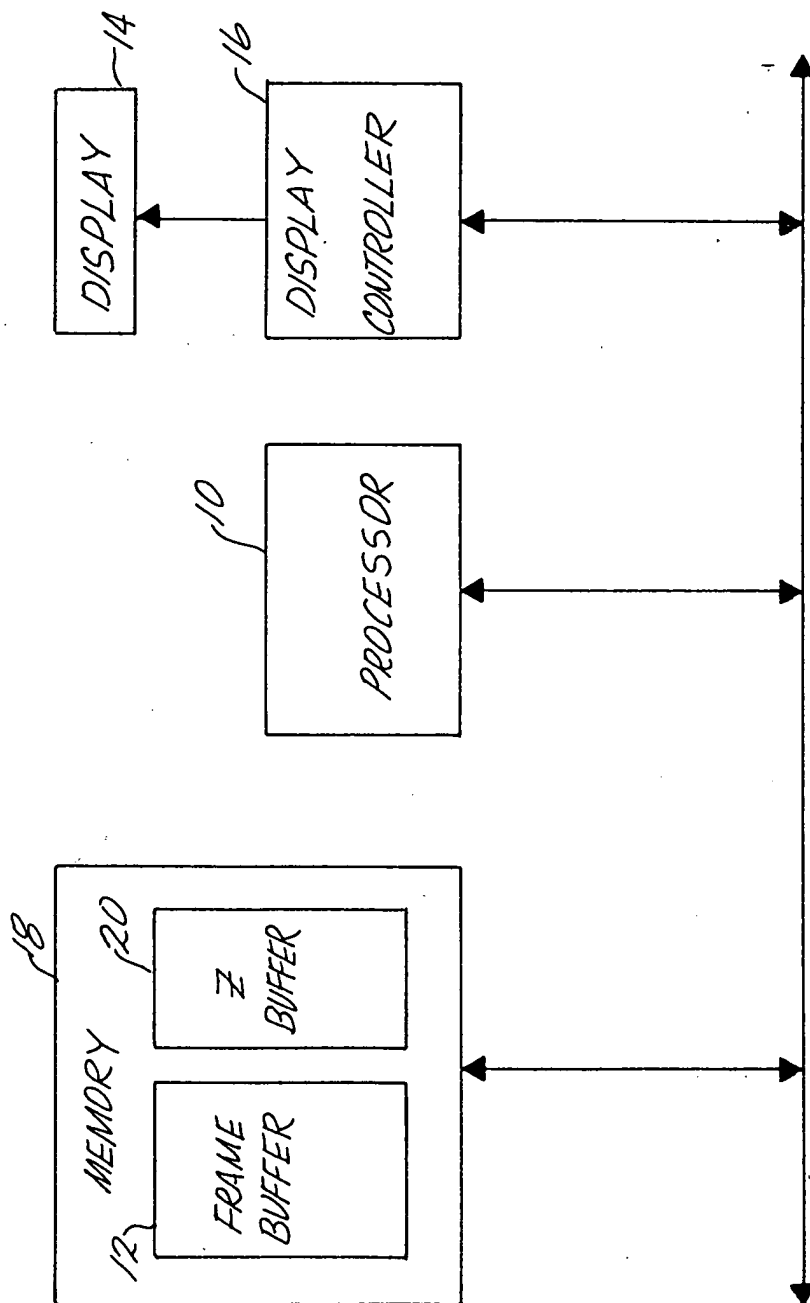
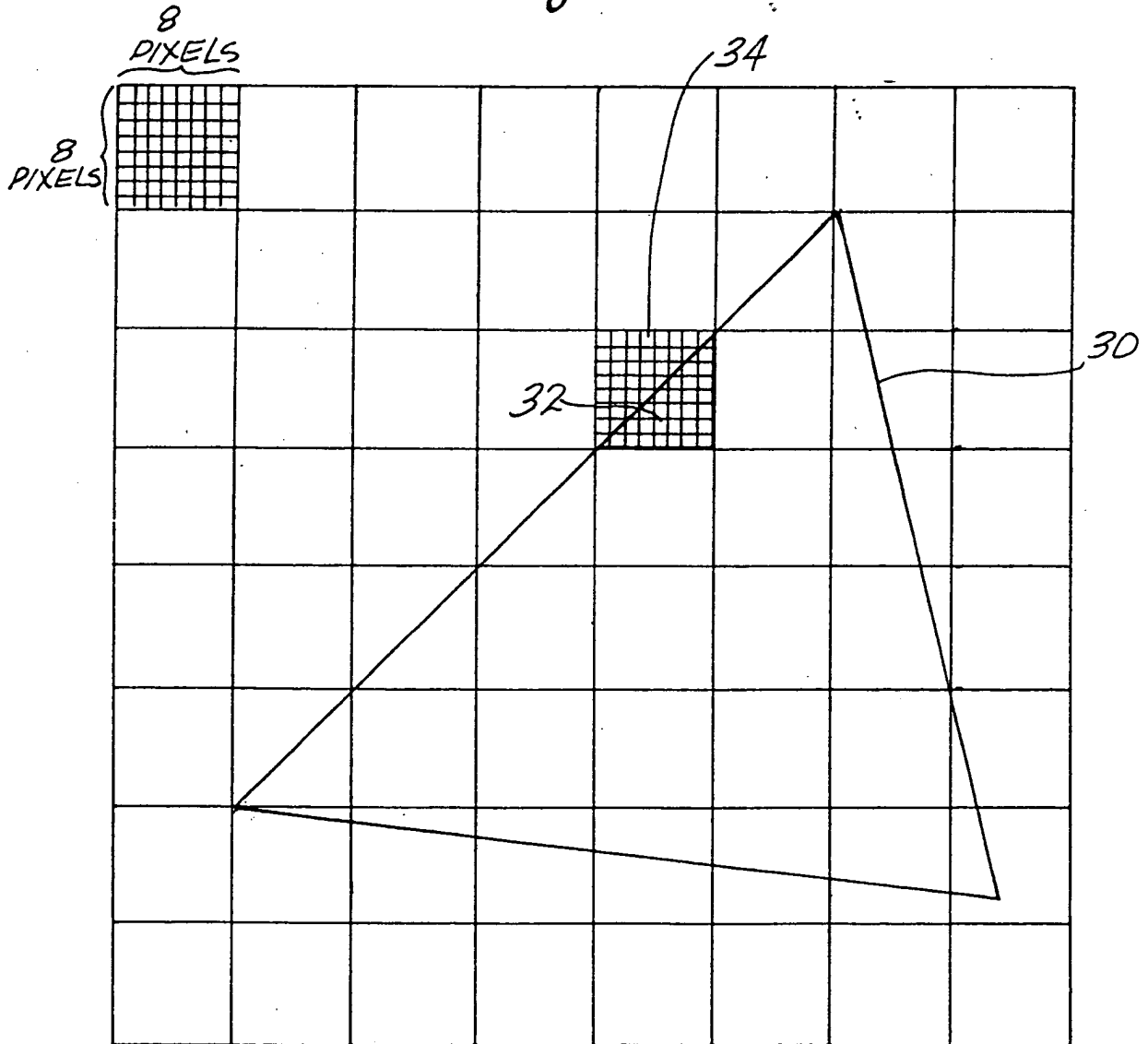


Fig. 1
(PRIOR ART)

Fig. 2



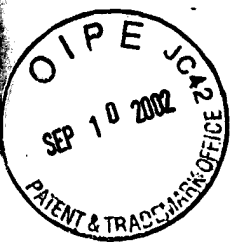


Fig. 3

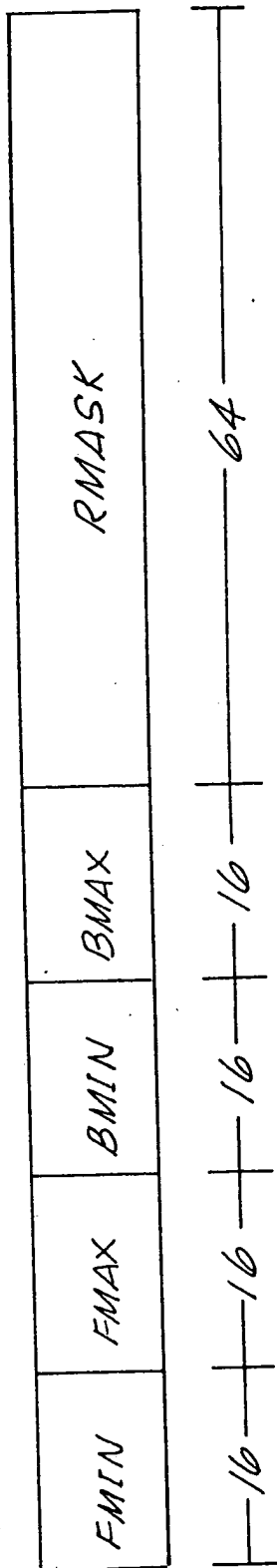
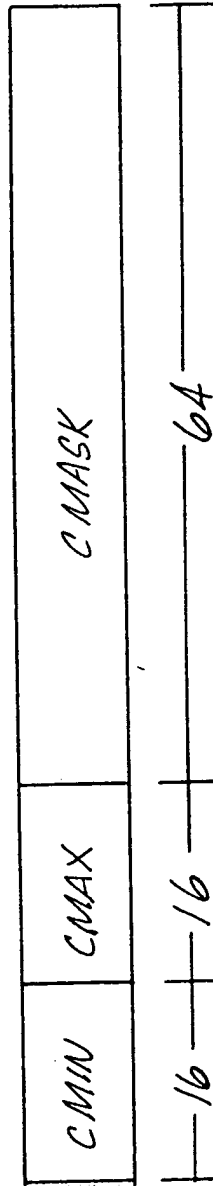




Fig. 4



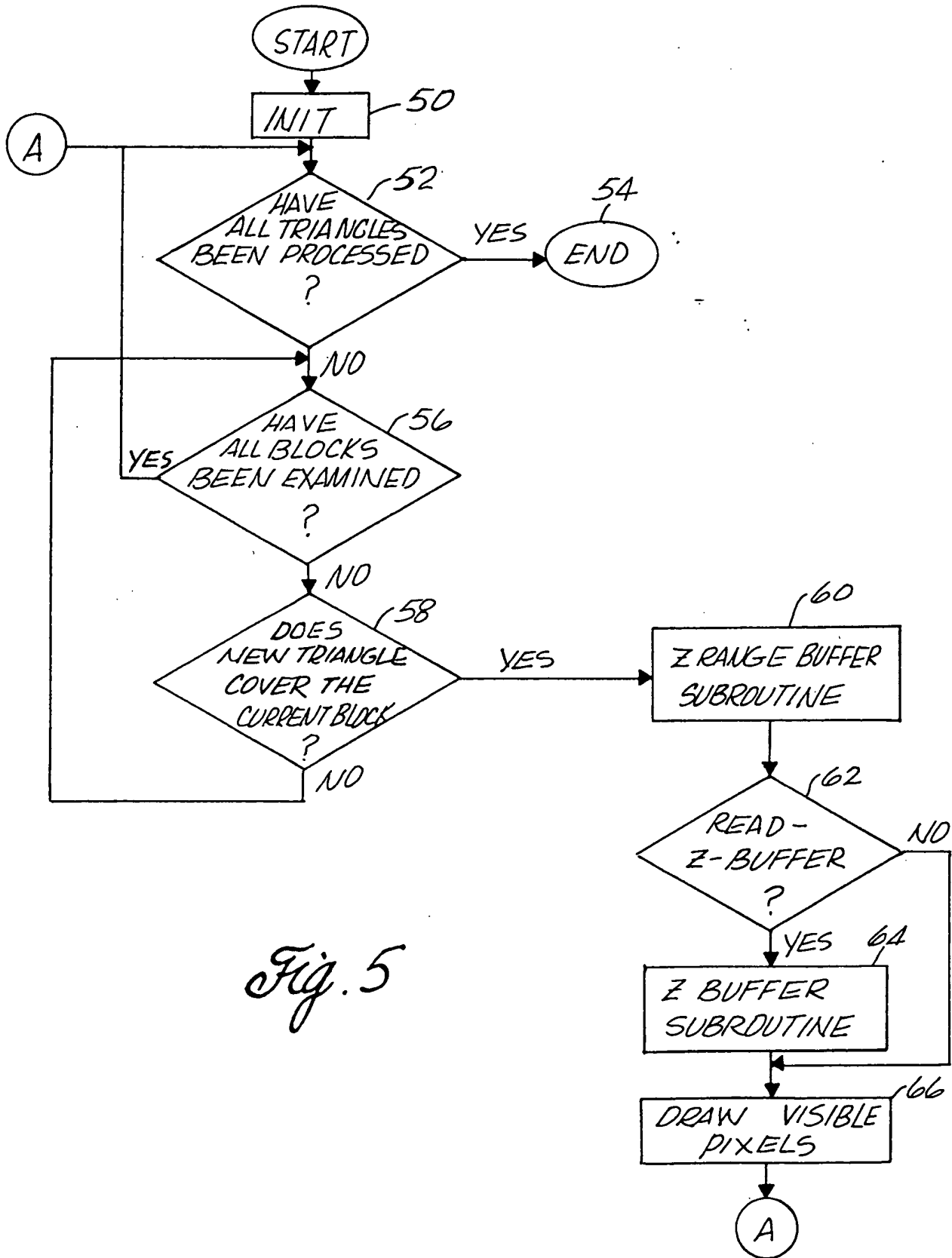


Fig. 5

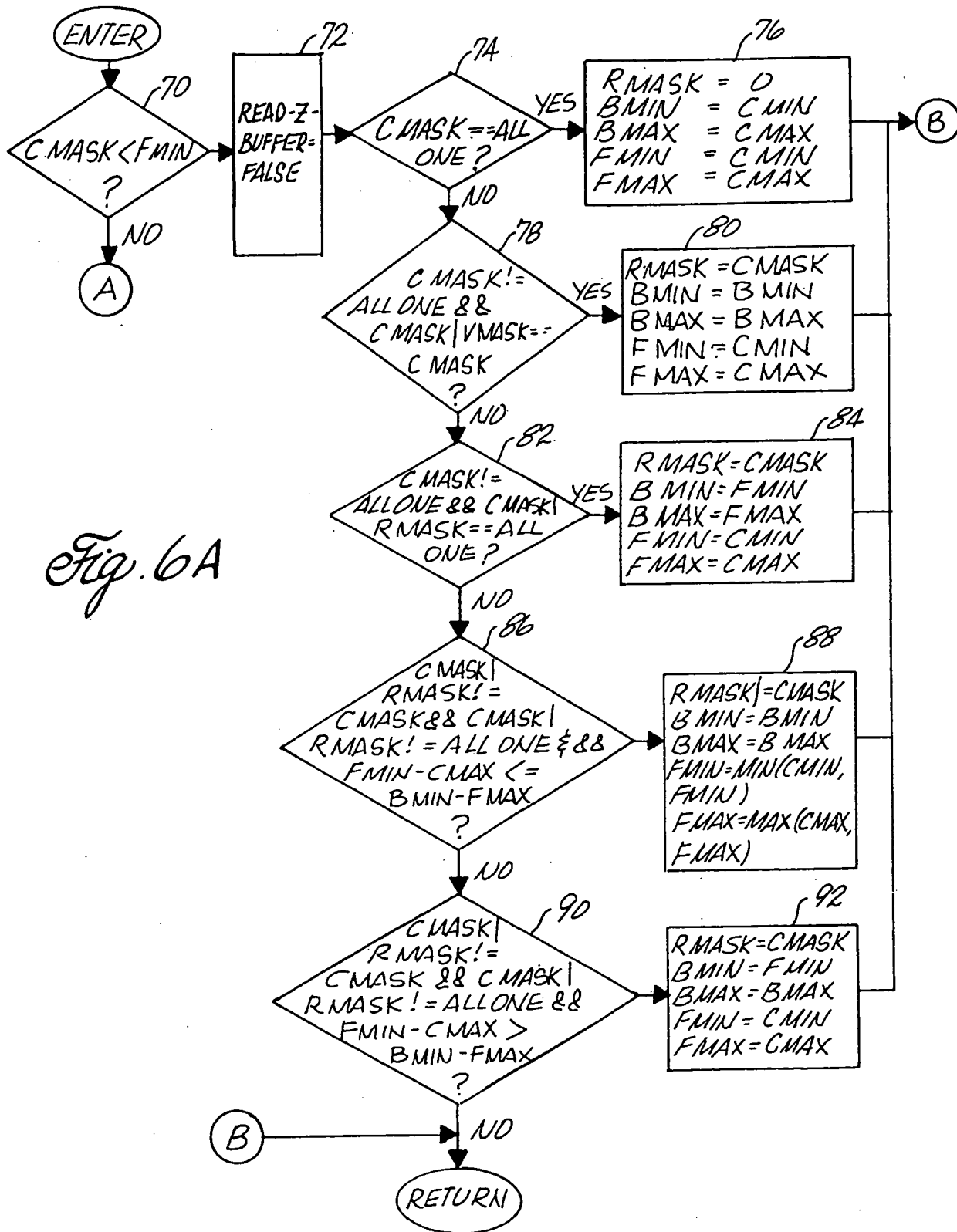
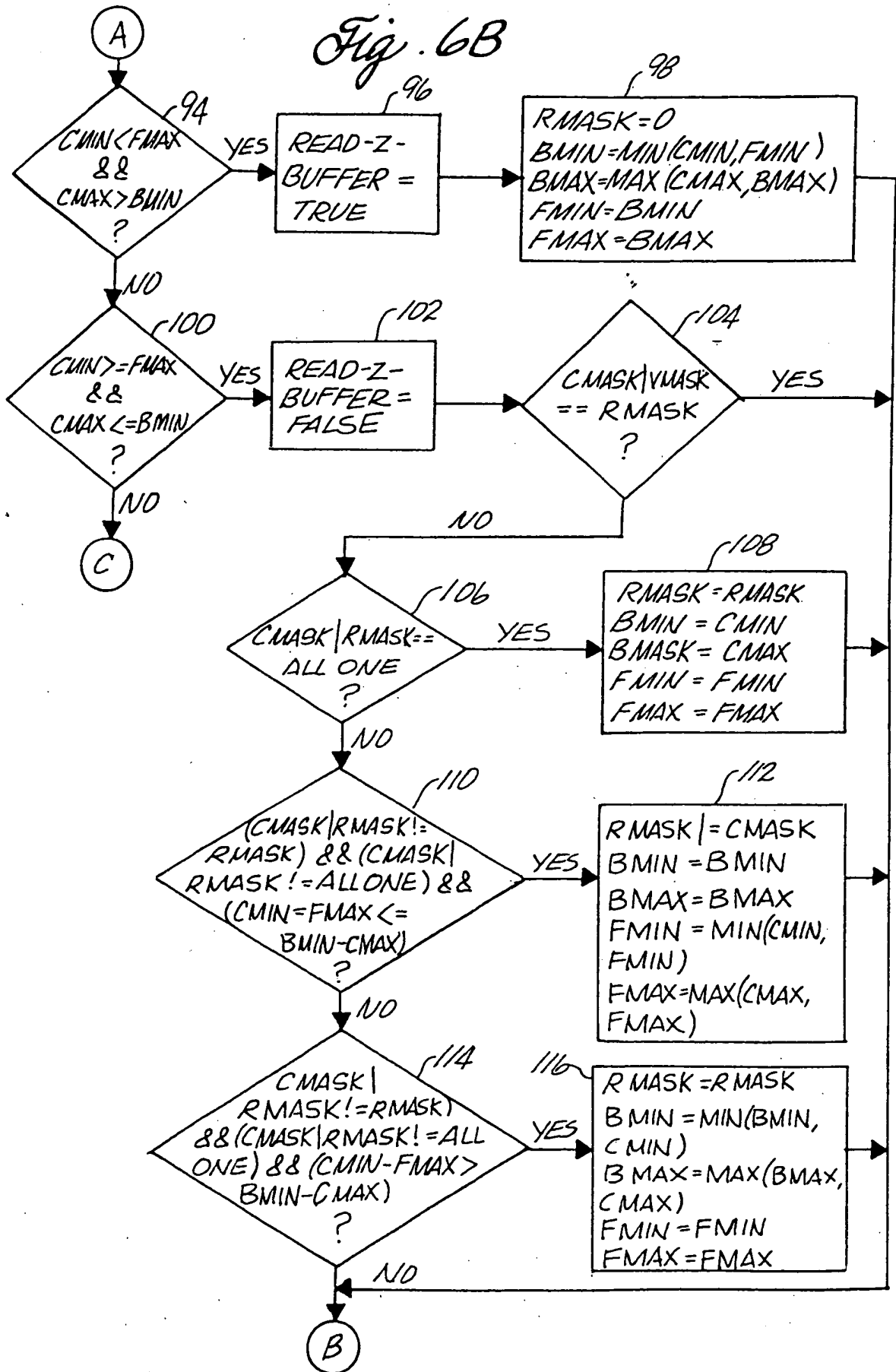


Fig. 6B



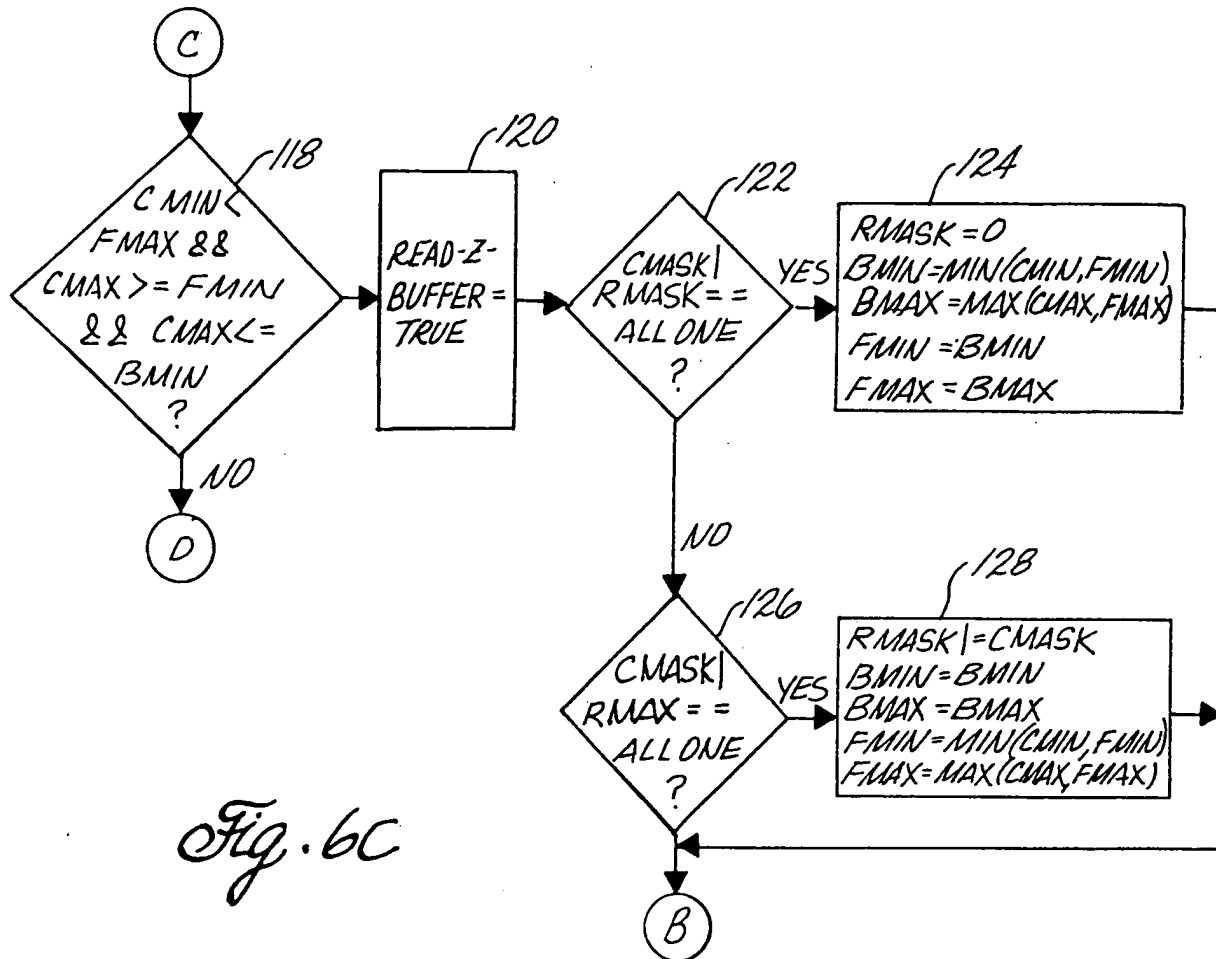


Fig. 6C

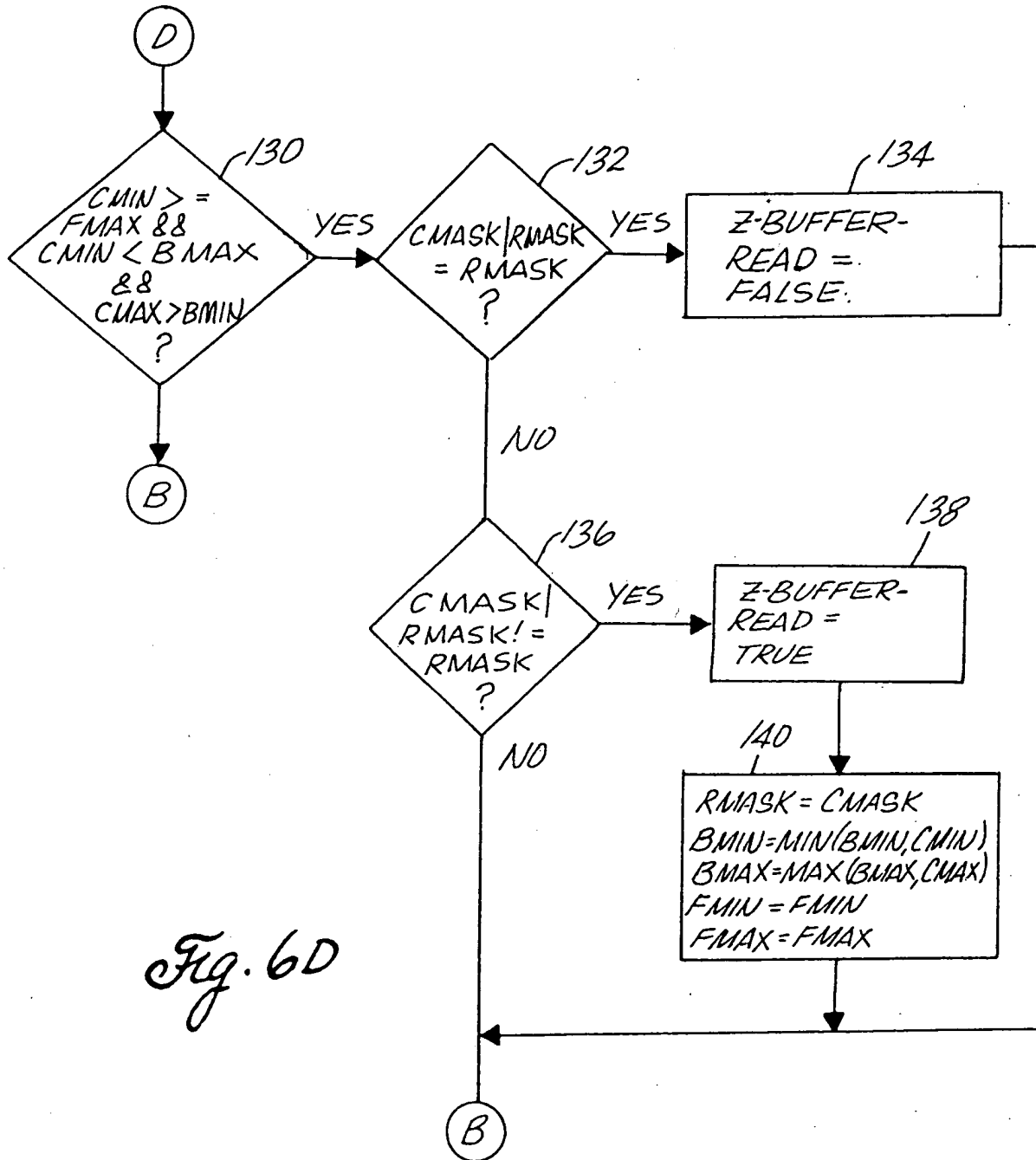


Fig. 6D



09/00857
Mike Hong et al.
Sheet 10 of 19

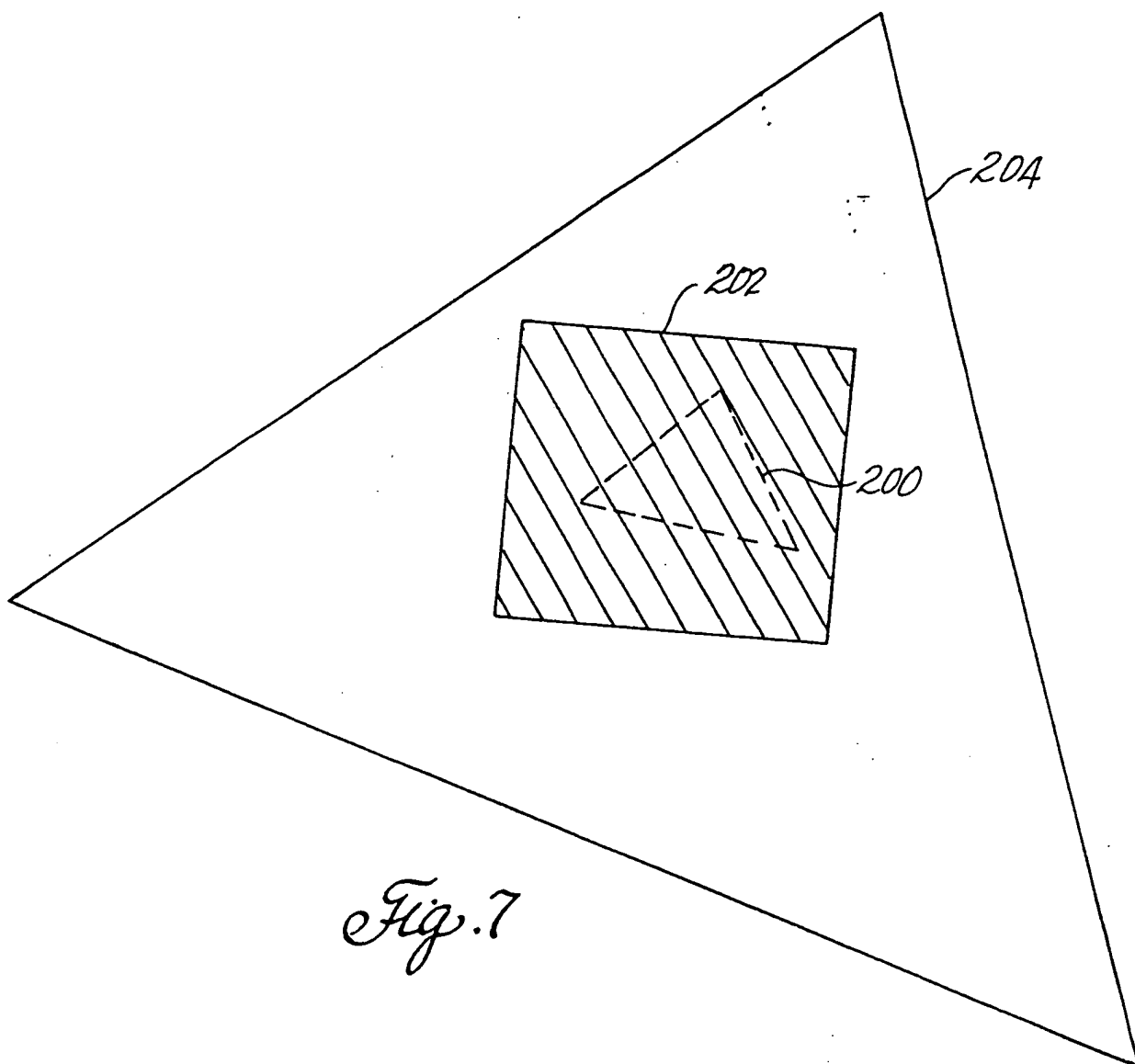


Fig. 7

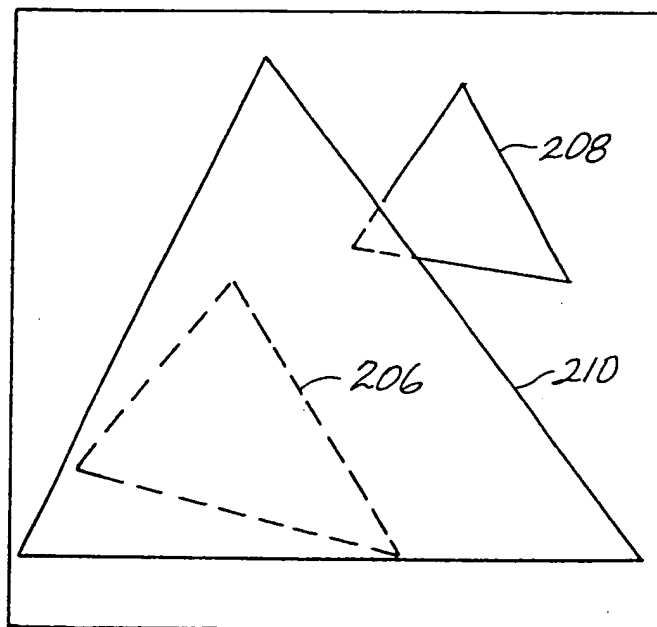


Fig. 8

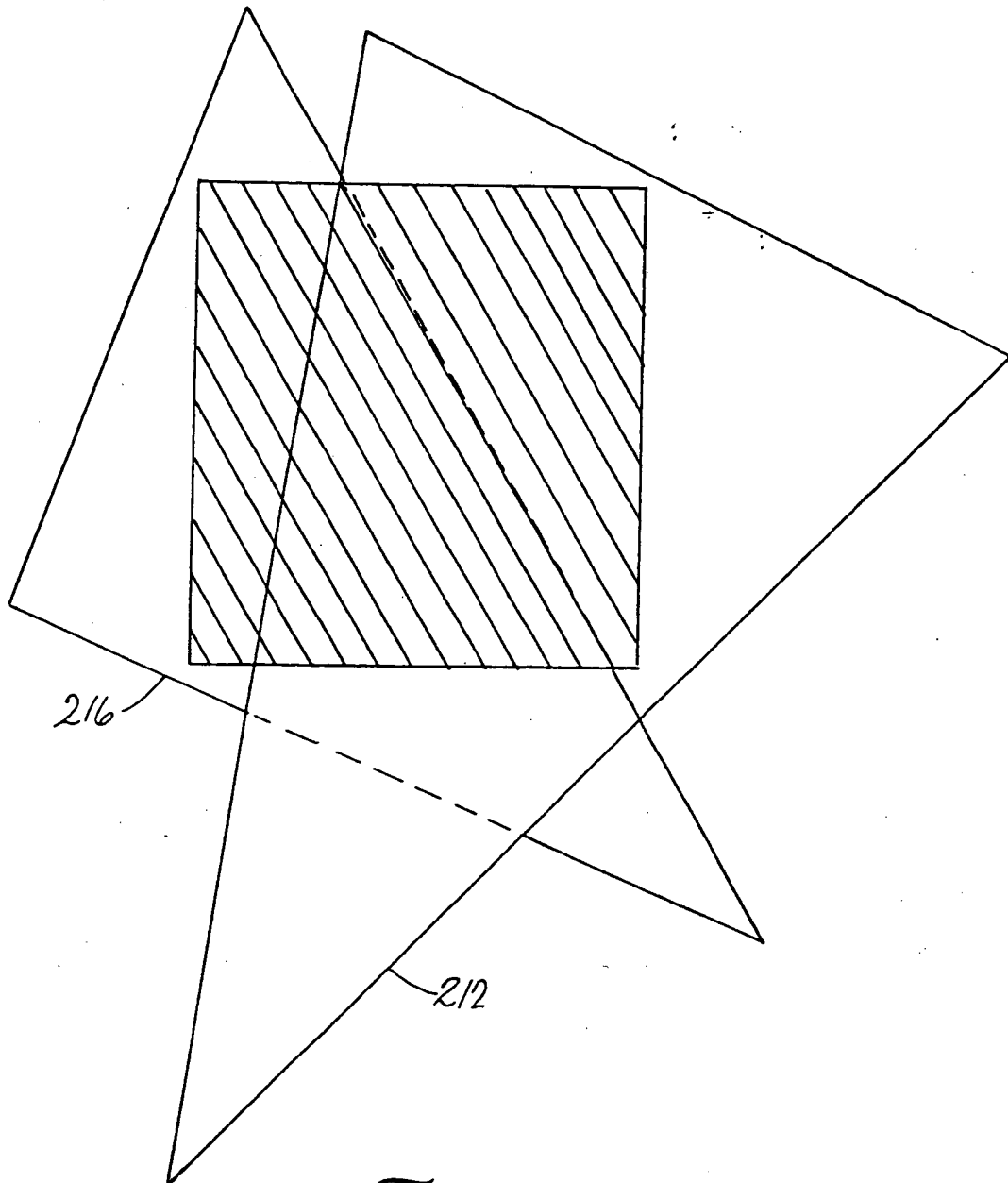


Fig. 9



Fig. 10

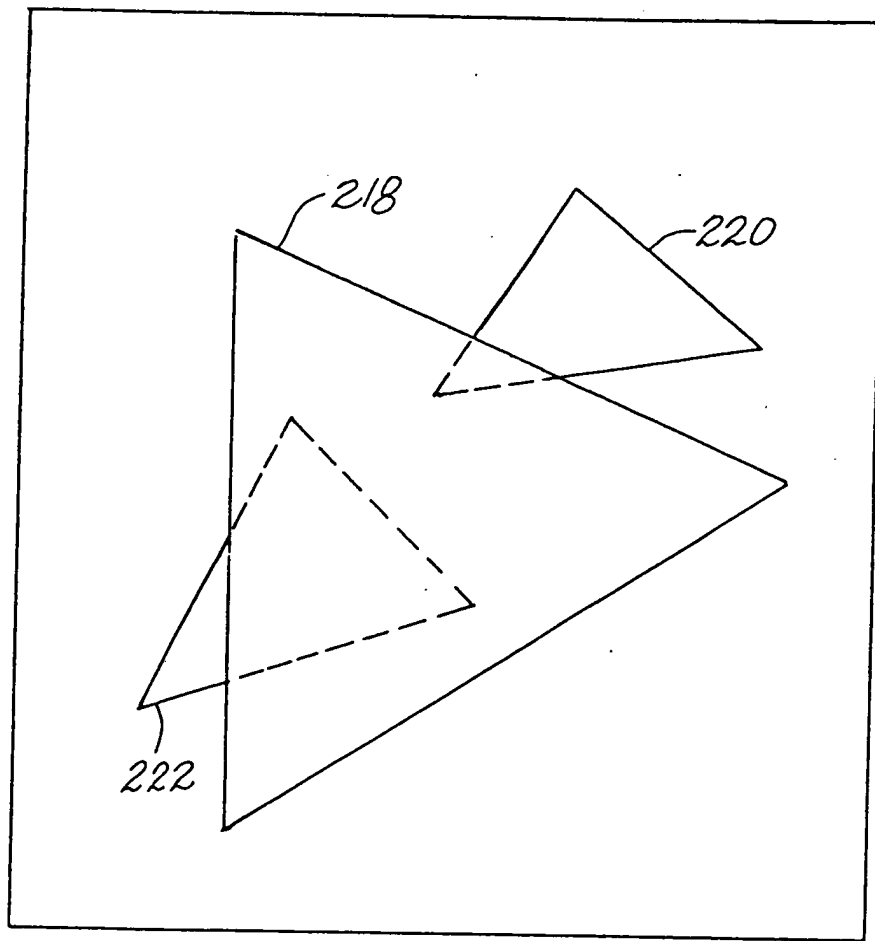
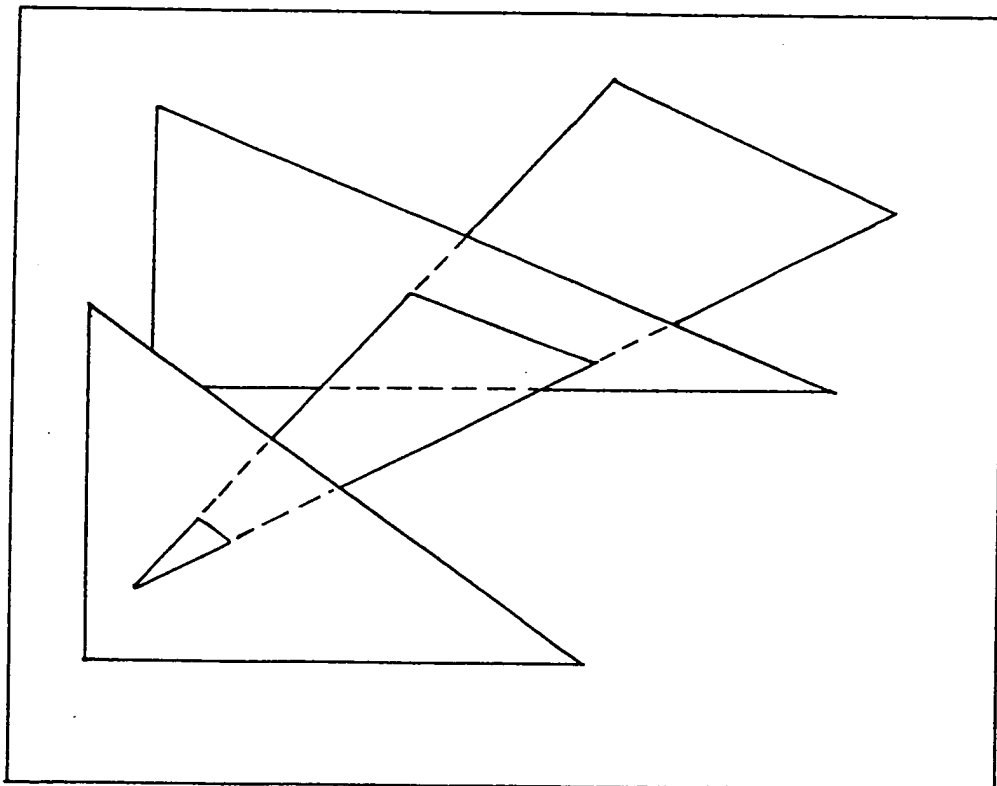




Fig. 11



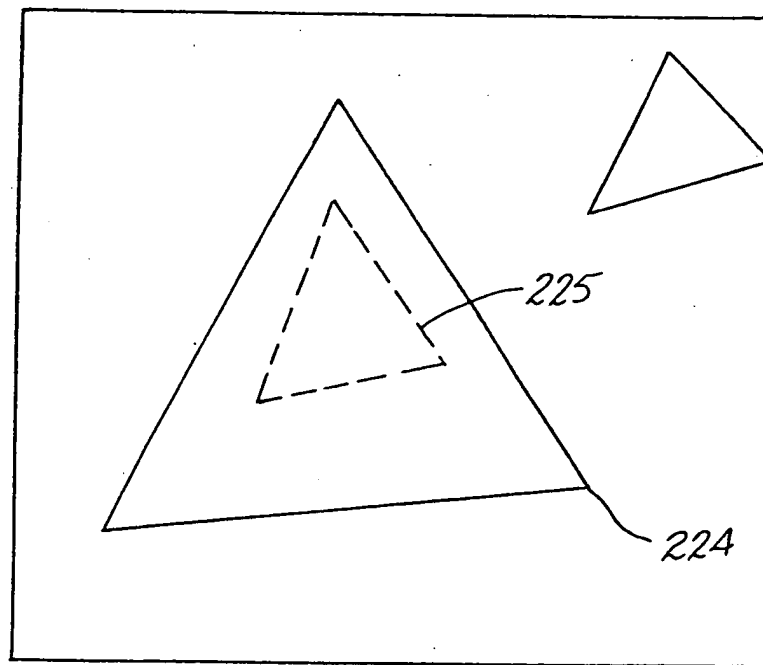


Fig. 12



Fig. 13

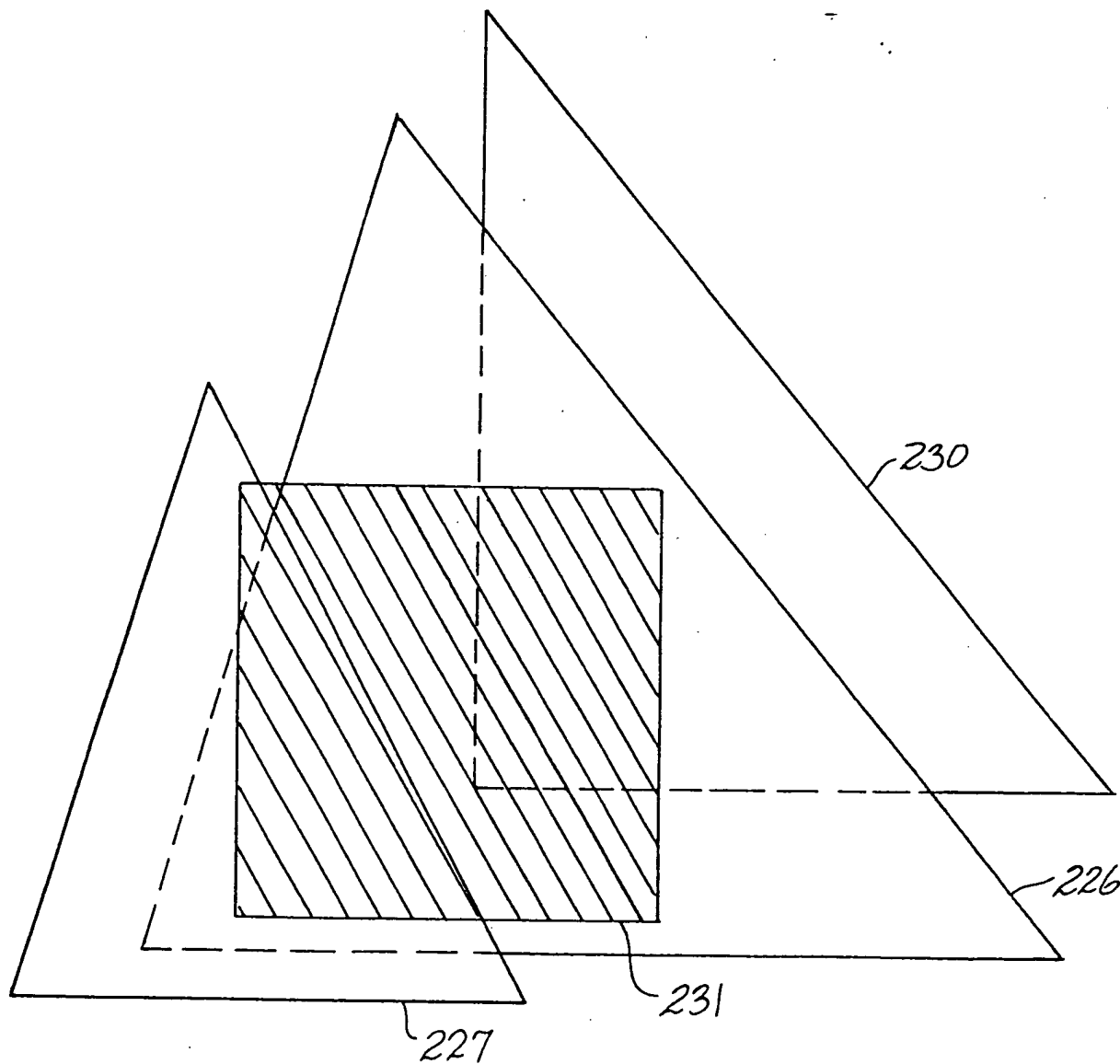




Fig. 14

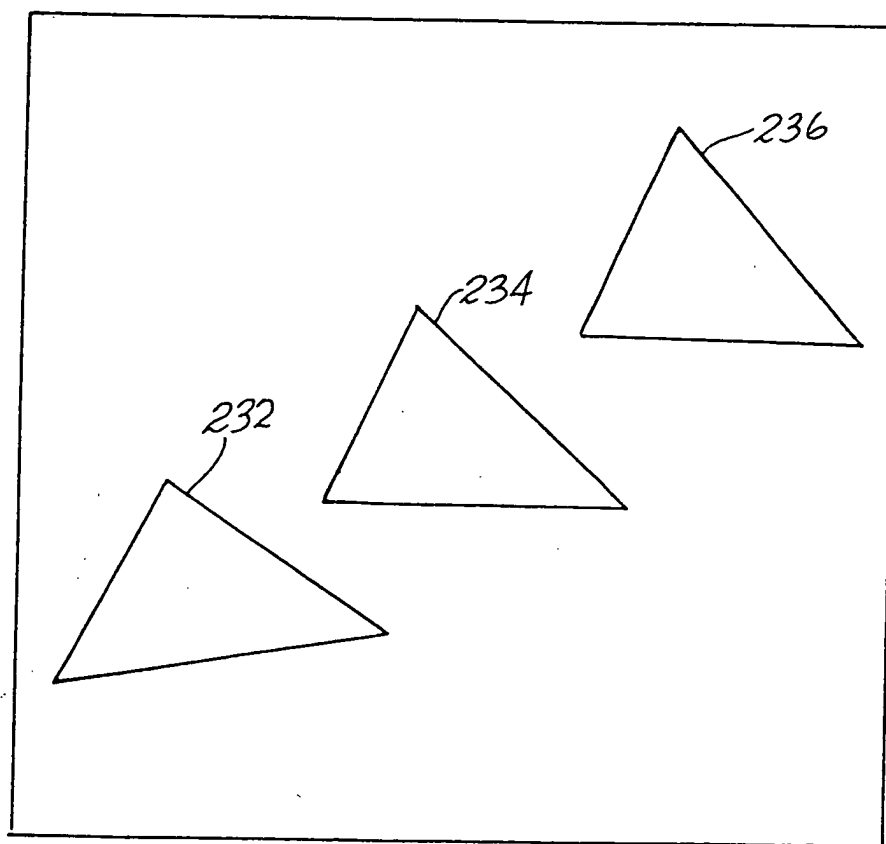




Fig. 15

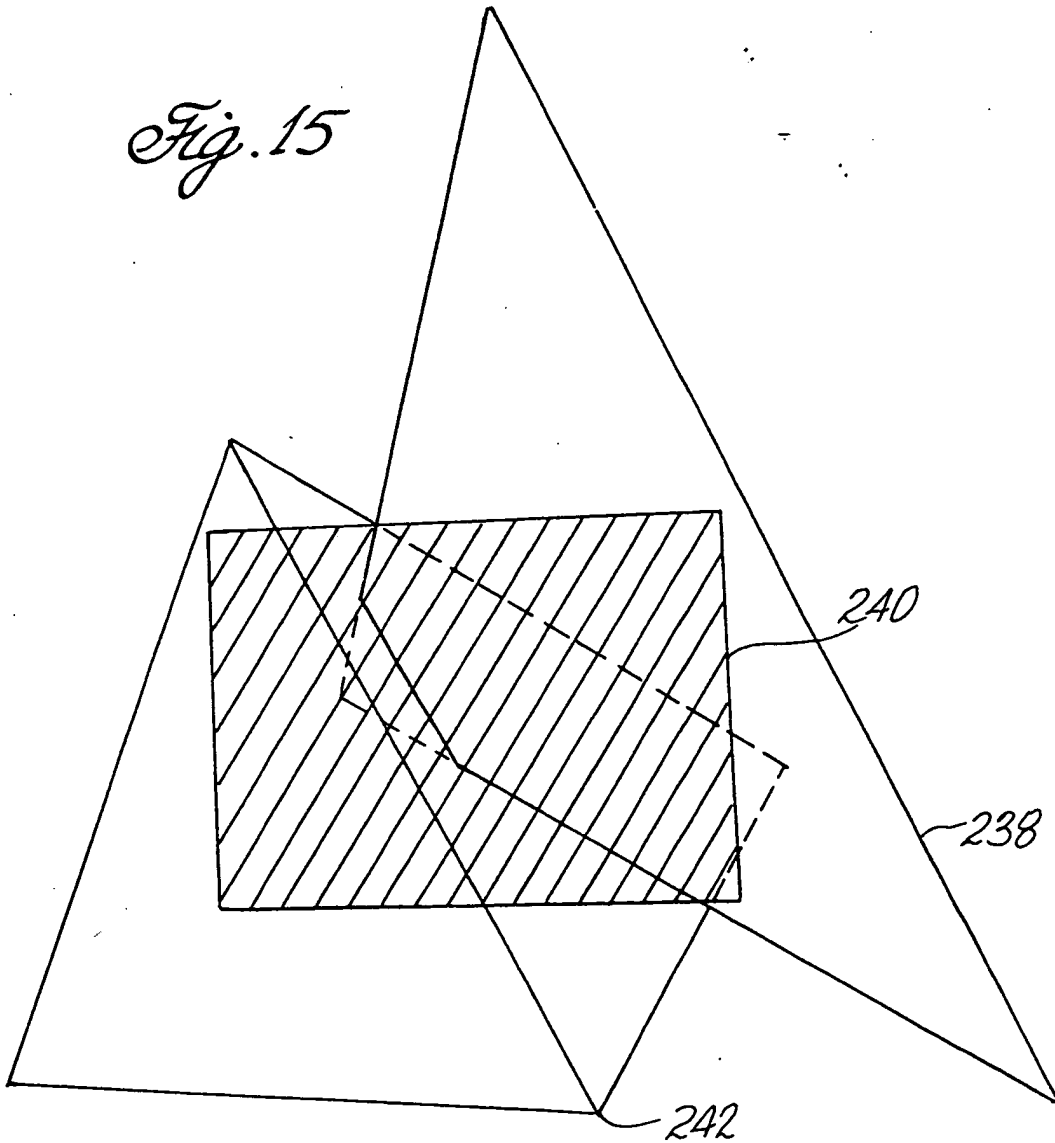




Fig. 16

